

Starkniederschlagshöhen und -spenden gemäß KOSTRA-DWD-2020

Rasterfeld 204132

(Zeile 204, Spalte 132)

Regenspende und Bemessungsniederschlagswerte in Abhängigkeit von Wiederkehrzeit T und Dauerstufe D

| Dauerstufe D | | Wiederkehrzeit T | | | | | | | | | | | | | | | | | |
|--------------|-----|------------------|------------|------|------------|------|------------|------|------------|------|------------|-------|------------|-------|------------|-------|------------|-------|------------|
| | | 1 a | | 2 a | | 3 a | | 5 a | | 10 a | | 20 a | | 30 a | | 50 a | | 100 a | |
| min | Std | mm | l / (s ha) | mm | l / (s ha) | mm | l / (s ha) | mm | l / (s ha) | mm | l / (s ha) | mm | l / (s ha) | mm | l / (s ha) | mm | l / (s ha) | mm | l / (s ha) |
| 5 | | 8,0 | 266,7 | 9,6 | 320,0 | 10,7 | 356,7 | 12,0 | 400,0 | 14,0 | 466,7 | 16,0 | 533,3 | 17,3 | 576,7 | 19,0 | 633,3 | 21,5 | 716,7 |
| 10 | | 10,6 | 176,7 | 12,8 | 213,3 | 14,1 | 235,0 | 15,9 | 265,0 | 18,5 | 308,3 | 21,2 | 353,3 | 22,9 | 381,7 | 25,2 | 420,0 | 28,4 | 473,3 |
| 15 | | 12,1 | 134,4 | 14,6 | 162,2 | 16,2 | 180,0 | 18,3 | 203,3 | 21,2 | 235,6 | 24,3 | 270,0 | 26,3 | 292,2 | 28,9 | 321,1 | 32,6 | 362,2 |
| 20 | | 13,2 | 110,0 | 16,0 | 133,3 | 17,7 | 147,5 | 19,9 | 165,8 | 23,2 | 193,3 | 26,5 | 220,8 | 28,7 | 239,2 | 31,5 | 262,5 | 35,6 | 296,7 |
| 30 | | 14,8 | 82,2 | 17,9 | 99,4 | 19,8 | 110,0 | 22,4 | 124,4 | 26,0 | 144,4 | 29,7 | 165,0 | 32,2 | 178,9 | 35,4 | 196,7 | 39,9 | 221,7 |
| 45 | | 16,5 | 61,1 | 20,0 | 74,1 | 22,1 | 81,9 | 24,9 | 92,2 | 28,9 | 107,0 | 33,0 | 122,2 | 35,8 | 132,6 | 39,3 | 145,6 | 44,4 | 164,4 |
| 60 | 1 | 17,7 | 49,2 | 21,4 | 59,4 | 23,7 | 65,8 | 26,7 | 74,2 | 31,0 | 86,1 | 35,5 | 98,6 | 38,4 | 106,7 | 42,3 | 117,5 | 47,7 | 132,5 |
| 90 | 1,5 | 19,6 | 36,3 | 23,6 | 43,7 | 26,2 | 48,5 | 29,5 | 54,6 | 34,2 | 63,3 | 39,2 | 72,6 | 42,4 | 78,5 | 46,6 | 86,3 | 52,6 | 97,4 |
| 120 | 2 | 20,9 | 29,0 | 25,3 | 35,1 | 28,0 | 38,9 | 31,5 | 43,8 | 36,6 | 50,8 | 41,9 | 58,2 | 45,3 | 62,9 | 49,8 | 69,2 | 56,3 | 78,2 |
| 180 | 3 | 23,0 | 21,3 | 27,7 | 25,6 | 30,7 | 28,4 | 34,6 | 32,0 | 40,2 | 37,2 | 46,0 | 42,6 | 49,7 | 46,0 | 54,7 | 50,6 | 61,8 | 57,2 |
| 240 | 4 | 24,5 | 17,0 | 29,6 | 20,6 | 32,8 | 22,8 | 36,9 | 25,6 | 42,9 | 29,8 | 49,1 | 34,1 | 53,1 | 36,9 | 58,4 | 40,6 | 65,9 | 45,8 |
| 360 | 6 | 26,8 | 12,4 | 32,4 | 15,0 | 35,9 | 16,6 | 40,4 | 18,7 | 47,0 | 21,8 | 53,7 | 24,9 | 58,1 | 26,9 | 63,9 | 29,6 | 72,2 | 33,4 |
| 540 | 9 | 29,4 | 9,1 | 35,5 | 11,0 | 39,3 | 12,1 | 44,2 | 13,6 | 51,4 | 15,9 | 58,8 | 18,1 | 63,6 | 19,6 | 69,9 | 21,6 | 79,0 | 24,4 |
| 720 | 12 | 31,3 | 7,2 | 37,8 | 8,8 | 41,8 | 9,7 | 47,1 | 10,9 | 54,7 | 12,7 | 62,6 | 14,5 | 67,8 | 15,7 | 74,5 | 17,2 | 84,2 | 19,5 |
| 1080 | 18 | 34,2 | 5,3 | 41,3 | 6,4 | 45,7 | 7,1 | 51,5 | 7,9 | 59,8 | 9,2 | 68,4 | 10,6 | 74,1 | 11,4 | 81,4 | 12,6 | 92,0 | 14,2 |
| 1440 | 24 | 36,4 | 4,2 | 44,0 | 5,1 | 48,7 | 5,6 | 54,9 | 6,4 | 63,7 | 7,4 | 72,9 | 8,4 | 78,9 | 9,1 | 86,7 | 10,0 | 98,0 | 11,3 |
| 2880 | 48 | 42,4 | 2,5 | 51,2 | 3,0 | 56,7 | 3,3 | 63,8 | 3,7 | 74,2 | 4,3 | 84,8 | 4,9 | 91,8 | 5,3 | 100,9 | 5,8 | 114,0 | 6,6 |
| 4320 | 72 | 46,3 | 1,8 | 56,0 | 2,2 | 61,9 | 2,4 | 69,8 | 2,7 | 81,0 | 3,1 | 92,7 | 3,6 | 100,3 | 3,9 | 110,3 | 4,3 | 124,6 | 4,8 |
| 5760 | 96 | 49,3 | 1,4 | 59,6 | 1,7 | 65,9 | 1,9 | 74,3 | 2,1 | 86,3 | 2,5 | 98,7 | 2,9 | 106,8 | 3,1 | 117,4 | 3,4 | 132,7 | 3,8 |
| 7200 | 120 | 51,8 | 1,2 | 62,5 | 1,4 | 69,2 | 1,6 | 78,0 | 1,8 | 90,6 | 2,1 | 103,6 | 2,4 | 112,1 | 2,6 | 123,3 | 2,9 | 139,3 | 3,2 |
| 8640 | 144 | 53,9 | 1,0 | 65,1 | 1,3 | 72,0 | 1,4 | 81,1 | 1,6 | 94,3 | 1,8 | 107,8 | 2,1 | 116,7 | 2,3 | 128,3 | 2,5 | 144,9 | 2,8 |
| 10080 | 168 | 55,7 | 0,9 | 67,3 | 1,1 | 74,5 | 1,2 | 83,9 | 1,4 | 97,5 | 1,6 | 111,5 | 1,8 | 120,7 | 2,0 | 132,7 | 2,2 | 149,9 | 2,5 |

Starkniederschlagshöhen und -spenden gemäß KOSTRA-DWD-2020

Rasterfeld 204132

(Zeile 204, Spalte 132)

Örtliche Unsicherheiten in Abhängigkeit von Wiederkehrzeit T und Dauerstufe D

| Dauerstufe D | | Wiederkehrzeit T | | | | | | | | |
|--------------|-----|------------------|-----|-----|-----|------|------|------|------|-------|
| | | 1 a | 2 a | 3 a | 5 a | 10 a | 20 a | 30 a | 50 a | 100 a |
| min | Std | ± % | ± % | ± % | ± % | ± % | ± % | ± % | ± % | ± % |
| 5 | | 14 | 14 | 15 | 15 | 16 | 16 | 16 | 17 | 17 |
| 10 | | 17 | 18 | 19 | 19 | 20 | 21 | 21 | 21 | 22 |
| 15 | | 19 | 20 | 21 | 22 | 22 | 23 | 23 | 24 | 24 |
| 20 | | 20 | 22 | 22 | 23 | 23 | 24 | 24 | 25 | 25 |
| 30 | | 21 | 22 | 23 | 24 | 24 | 25 | 25 | 26 | 26 |
| 45 | | 21 | 23 | 23 | 24 | 25 | 25 | 26 | 26 | 26 |
| 60 | 1 | 21 | 22 | 23 | 24 | 24 | 25 | 25 | 26 | 26 |
| 90 | 1,5 | 20 | 22 | 22 | 23 | 24 | 24 | 25 | 25 | 25 |
| 120 | 2 | 20 | 21 | 22 | 22 | 23 | 24 | 24 | 24 | 25 |
| 180 | 3 | 19 | 20 | 20 | 21 | 22 | 22 | 23 | 23 | 24 |
| 240 | 4 | 18 | 19 | 20 | 20 | 21 | 22 | 22 | 22 | 23 |
| 360 | 6 | 17 | 18 | 19 | 19 | 20 | 21 | 21 | 21 | 22 |
| 540 | 9 | 17 | 17 | 18 | 18 | 19 | 20 | 20 | 20 | 21 |
| 720 | 12 | 16 | 17 | 17 | 18 | 19 | 19 | 19 | 20 | 20 |
| 1080 | 18 | 16 | 17 | 17 | 17 | 18 | 18 | 19 | 19 | 19 |
| 1440 | 24 | 16 | 17 | 17 | 17 | 18 | 18 | 18 | 19 | 19 |
| 2880 | 48 | 18 | 18 | 18 | 18 | 18 | 18 | 19 | 19 | 19 |
| 4320 | 72 | 19 | 19 | 19 | 19 | 19 | 19 | 19 | 19 | 19 |
| 5760 | 96 | 20 | 20 | 20 | 20 | 20 | 20 | 20 | 20 | 20 |
| 7200 | 120 | 21 | 21 | 21 | 20 | 20 | 21 | 21 | 21 | 21 |
| 8640 | 144 | 22 | 21 | 21 | 21 | 21 | 21 | 21 | 21 | 21 |
| 10080 | 168 | 23 | 22 | 22 | 22 | 22 | 22 | 22 | 22 | 22 |

Parameter für abweichende T und D

Lokationsparameter ξ (Xi)

18,26663754

Skalenparameter α (Alpha)

5,28057817

Formparameter κ (Kappa)

-0,1

1. Koutsoyiannis-Parameter θ (Theta)

0,03684228

2. Koutsoyiannis-Parameter η (Eta)

0,78220113

Parameter für dauerstufenübergreifende Extremwertschätzung nach KOUTSOYIANNIS et al. 1998.

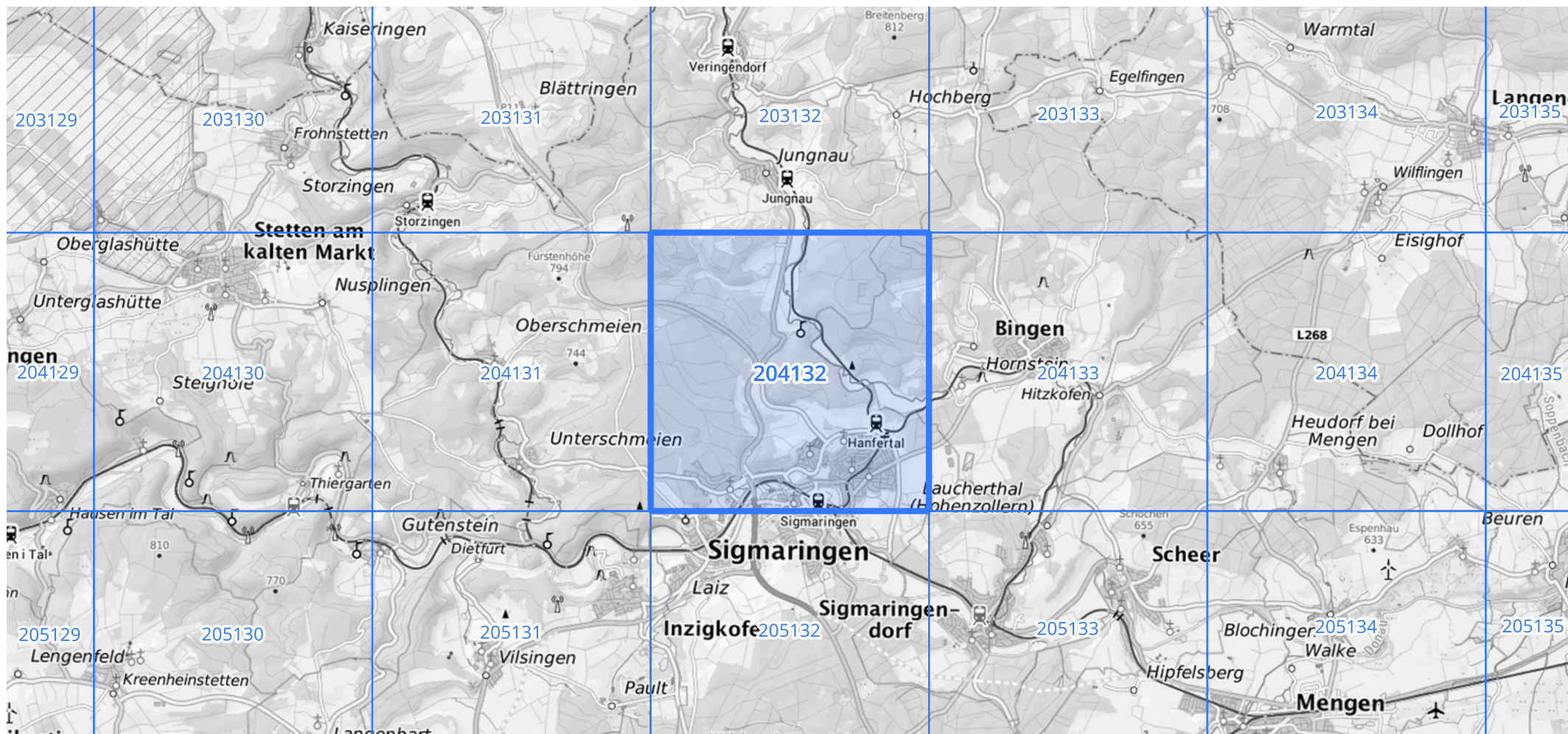
Siehe auch Anwendungshilfe zu KOSTRA-DWD-2020 des Deutschen Wetterdienstes.

Starkniederschlagshöhen und -spenden gemäß KOSTRA-DWD-2020

Rasterfeld 204132

(Zeile 204, Spalte 132)

Übersichtskarte des Rasterfeldes 204132, M 1 : 100 000



Quelle Rasterdaten: KOSTRA-DWD-2020 des Deutschen Wetterdienstes, Stand 12/2022.

Seite 3 von 3

Kartendarstellung: © Bundesamt für Kartographie und Geodäsie (2023), Datenquellen: https://sgx.geodatenzentrum.de/web_public/gdz/datenquellen/Datenquellen_TopPlusOpen.html

Für die Richtigkeit und Aktualität der Angaben wird keine Gewähr übernommen. Erstellt 01/2023.